

**ТЕРМОДИНАМИЧЕСКИЙ РАСЧЕТ
ЗАВИСИМОСТИ ШИРИНЫ ЗАПРЕЩЕННОЙ ЗОНЫ
ОТ СОСТАВА МНОГОКОМПОНЕНТНЫХ ТВЕРДЫХ РАСТВОРОВ
НА ОСНОВЕ СОЕДИНЕНИЙ А^{III}В^V**

Литвак А. М., Чарыков Н. А.

Приведен новый, основанный на термодинамическом анализе способ расчета ширины запрещенной зоны в многокомпонентных А^{III}В^V твердых растворах (в случае прямых переходов). Обнаружена взаимосвязь между параметром прогиба (ΔE_g) и параметром неидеальности (ΔH) для ряда твердых растворов. Предложены термодинамические формулы для расчета ΔE_g и ширины запрещенной зоны многокомпонентных твердых растворов.

Широкое развитие исследований и применения оптоэлектронных приборов, созданных на базе многокомпонентных твердых растворов, требует знания концентрационной зависимости ширины запрещенной зоны.

Если в трехкомпонентных системах (твердые растворы типа AB_xC_{1-x}) возможно подробное экспериментальное исследование зависимости ширины запрещенной зоны от состава [$E_g = f(x)$], то в четырехкомпонентных (и более) системах эта зависимость представляет собой многомерную поверхность [$E_g = f(x_1, x_2, \dots, x_{n-1})$], подробное экспериментальное исследование которой практически невозможно.

Исследования твердых растворов типа AB_xC_{1-x} (см., например, [1]) показали, что экспериментальная зависимость ширины запрещенной зоны от состава раствора (в случае прямых переходов) с достаточной точностью описывается эмпирической формулой

$$E_g = E_{g_{AB}}x + E_{g_{AC}}(1-x) - \Delta E_{g_{AB-AC}}x(1-x), \quad (1)$$

где $E_{g_{AB}}$, $E_{g_{AC}}$ — ширина запрещенной зоны соединений AB , AC ; $\Delta E_{g_{AB-AC}}$ — величина, характеризующая отклонение экспериментальной зависимости от линейного закона (параметр прогиба). Величину $\Delta E_{g_{AB-AC}}x(1-x)$ в дальнейшем будем называть избыточной шириной запрещенной зоны.

Параметр прогиба ($\Delta E_{g_{AB-AC}}$) оценивался рядом авторов [2-4], и в некоторых случаях было получено удовлетворительное согласие с экспериментом.

Предлагаемый новый подход к расчету ширины запрещенной зоны позволяет не только оценить величину параметра прогиба, но и получить формулы для расчета E_g для случая любых многокомпонентных твердых растворов.

**Т е р м о д и н а м и ч е с к и е с в о й с т в а т в е р д ы х р а с т в о р о в
и з о в а л е н т н о г о з а м е щ е н i я**

Для описания термодинамических свойств неидеальных твердых растворов изовалентного замещения используют избыточные термодинамические потенциалы, которые характеризуют отклонения реальных потенциалов от линейной комбинации стандартных частей.

Так, мольная энталпия трехкомпонентного твердого раствора $A B_x C_{1-x}$ описывается в рамках решеточных моделей следующей строгой термодинамической формулой:

$$H = H_{AB}x + H_{AC}(1-x) + \Delta H_{AB-AC}x(1-x), \quad (2)$$

где H_{AB} , H_{AC} — мольные энталпии соединений AB и AC ; $\Delta H_{AB-AC}x(1-x)$ — величина избыточной мольной энталпии смешения твердого раствора; ΔH_{AB-AC} — параметр неидеальности твердого раствора (в случае идеального твердого раствора величина ΔH_{AB-AC} равна 0.0).

В рамках решеточных моделей могут быть получены формулы для мольных энталпий (или других термодинамических потенциалов) многокомпонентных твердых растворов. Для большого числа изученных систем $A'''B''V$ эти формулы с высокой точностью описывают экспериментальные данные:

$$H = \sum_i^{N_k} \sum_k^{N_a} H_{ik} x_i x_k + \sum_{i < j}^{N_k} \sum_k^{N_k} \sum_k^{N_a} \Delta H_{ijk} x_i x_j x_k + \sum_{k < e}^{N_a} \sum_e^{N_a} \sum_i^{N_k} \Delta H_{kei} x_k x_e x_i, \quad (3)$$

где H_{ik} — мольная энталпия чистого соединения (ik) ; N_k , N_a — количество различных типов атомов в катионной и анионной подрешетках; x_i — мольная доля i -го атома в соответствующей подрешетке.

Величина ΔH_{ijk} обычно оценивается из экспериментальных данных [5, 6] или рассчитывается по эмпирическим формулам [7].

Таблица 1
Экспериментальные и расчетные величины ΔH

Система	ΔH , ккал/моль				
	по фор- муле (4)	из работ			
		[5]	[6]	[7]	[14]**
In _x Ga _{1-x} P	3.6	3.5	4.0	3.6	—
In _x Ga _{1-x} Sb	1.7	1.9	1.5	1.8	1.8
InAs _y P _{1-y}	0.6	0.4	0.8	0.6	0.5
GaAs _y P _{1-y}	0.9	0.4	1.0	1.0	—
InAs _y Sb _{1-y}	2.4	2.3	2.9	2.3	2.6
GaAs _y Sb _{1-y}	4.0	4.5	3.3	3.4	3.8
InSb _y P _{1-y}	5.6	5.0	5.2	5.2	6.0
In _{1-x} Ga _x As*	2.9	3.0	2.8	2.8	1.9

Примечание. * В работе [12] приведена величина ΔH этой системы, равная 2000 ккал/моль. ** Величины ΔH , оцененные авторами из экспериментальных данных по методу, изложенному в [14].

Авторы предлагают для расчета параметра неидеальности формулу, основанную на анализе модельного потенциала межатомного $A'''B''V$ взаимодействия типа Леннарда—Джонса,

$$\Delta H_{ij-ik} = 8(H_{ij}^0 + H_{ik}^0)(a_{ij} - a_{ik})^2 / (a_{ij} + a_{ik})^2, \quad (4)$$

где H_{ij}^0 , H_{ik}^0 — мольные энталпии соединений ij и ik (в ккал/моль); a_{ij} , a_{ik} — постоянные решетки соответствующих соединений.

В табл. 1 приведены значения величин ΔH_{ij-ik} , экспериментально определенных разными авторами, а также результаты расчетов по формуле (4). Видно, что наблюдается хорошее соответствие расчетных и экспериментальных данных.

Зависимость между ΔH_{ij-ik} и $\Delta E_{g_{ij-ik}}$

Рядом авторов [8, 9] отмечалась связь между шириной запрещенной зоны и мольными энталпиями образования для ряда соединений $A^{III}B^V$, $A^{IV}B^VI$, $A^{IV}B^{VII}$, $A^{IV}A^{IV'}$.

Нами обнаружено, что имеется прямая пропорциональная зависимость между параметром прогиба (для случая прямых переходов) и параметром неидеальности для ряда твердых растворов $A^{III}B^V$ (рис. 1), поэтому можно записать

$$\Delta H_{ij-ik} = k^* \Delta E_{g_{ij-ik}}, \quad (5)$$

где $k^* \approx 4000$ кал/эВ.

Подобная связь между ΔH_{ij-ik} и $\Delta E_{g_{ij-ik}}$ позволяет использовать для оценки величины параметра прогиба уравнение (4):

$$\Delta E_{g_{ij-ik}} = k (H_{ij}^0 + H_{ik}^0) \times \\ \times (a_{ij} - a_{ik})^2 / (a_{ij} + a_{ik})^2,$$

где $k = 2$ эВ/ккал; остальные переменные аналогичны использовавшимся в уравнении (4).

В табл. 2 представлены расчетные и экспериментальные величины $\Delta E_{g_{ij-ik}}$, оцененные для ряда твердых растворов с прямыми переходами (в случаях $In_xGa_{1-x}P$ и $GaAs_xP_{1-x}$ рассматривались параметры прогиба на участках [зависимости $E_g = f(x)$] с прямыми переходами). Видно, что наблюдается согласие между большим числом расчетных и экспериментально определенных величин.

Наличие прямой пропорциональной зависимости между параметром прогиба и параметром неидеальности в твердых растворах позволяет использовать для оценки ширины запрещенной зоны многокомпонентных твердых растворов следующую формулу, являющуюся следствием уравнений (3) и (5):

$$E_g = \sum_i^N \sum_k^N E_{g_{ik}} x_i x_k + \sum_{i < j}^N \sum_k^N \sum_{e}^N \Delta E_{g_{ik-jk}} x_i x_j x_k + \sum_{k < e}^N \sum_{i=e}^N \sum_i^N \Delta E_{g_{ki-ei}} x_k x_e x_i, \quad (6)$$

где $E_{g_{ik}}$ — ширина запрещенной зоны соединения (ik) .

На рис. 2 и 3 в качестве примера представлены результаты расчета [по уравнениям (4') и (6)] зависимости ширины запрещенной зоны от состава взаимных четырехкомпонентных твердых растворов: $In_xGa_{1-x}As_ySb_{1-y}$, изопериодного к подложке $GaSb$, и $In_xGa_{1-x}As_yP_{1-y}$, изопериодного к подложке InP . Наблюдается хорошее согласие экспериментальных и расчетных данных.

Избыточная энталпия смешения в твердых растворах слабо зависит от температуры (5–7 % на 1000°). Отсюда следует, что параметр прогиба твердых растворов также должен слабо зависеть от температуры, что наблюдается и в эксперименте [10].

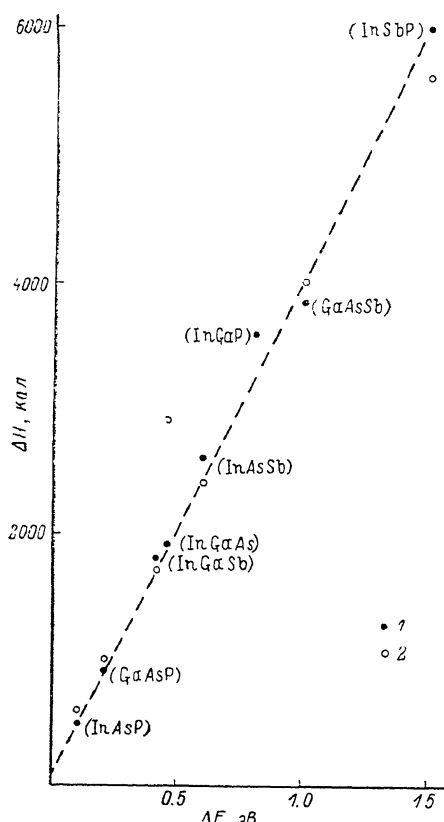


Рис. 1. Зависимость между ΔH и ΔE_g для ряда $A^{III}B^V$ систем.

1 — экспериментально определенные величины ΔH , 2 — расчетные величины ΔH .

Обсуждение результатов

Изложенный материал не дает ответа на наиболее важный и интересный вопрос: в чем физическая природа наличия прямой пропорциональной зависимости между параметром прогиба и параметром неидеальности твердых растворов?

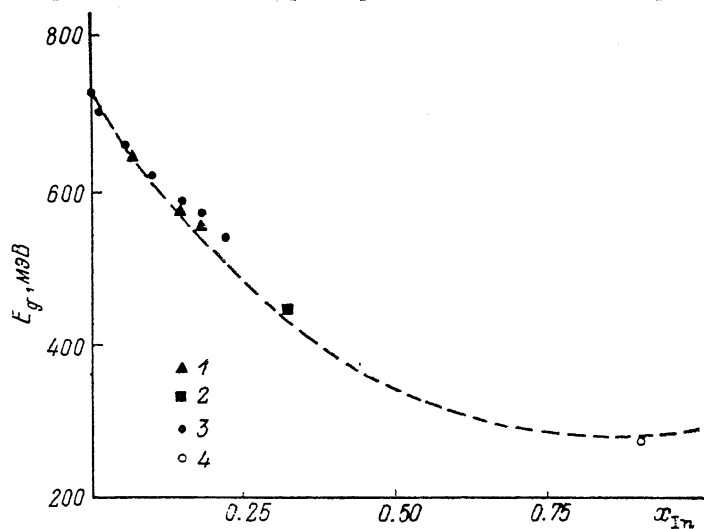


Рис. 2. Зависимость ширины запрещенной зоны E_g ($T=300$ К) от состава (x_{In}) для твердого раствора $In_xGa_{1-x}As_ySb_{1-y}$, изопериодного к GaSb.

Экспериментальные точки из работ: 1 — [16], 2 — [15], 3 — представленные А. Н. Титковым, В. Н. Чебаном, 4 — предоставленные В. Б. Шерстневым.

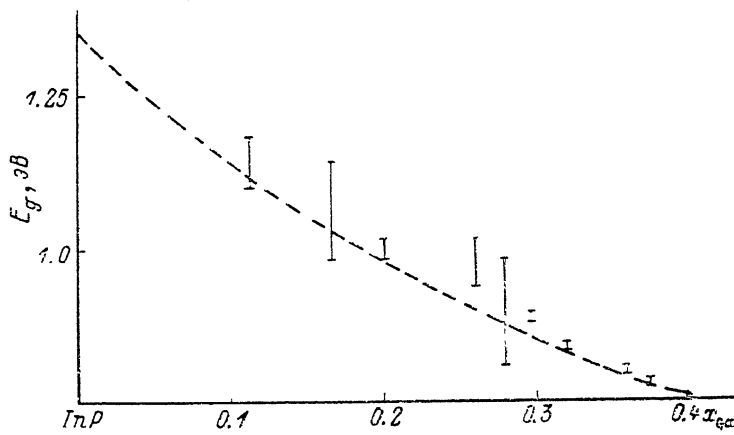


Рис. 3. Зависимость ширины запрещенной зоны E_g ($T=300$ К) от состава (x_{Ga}) для твердого раствора $In_xGa_{1-x}As_yP_{1-y}$, изопериодного к InP.

Вертикальные линии — интервалы, в которые укладываются экспериментальные точки из работы [15].

К сожалению, проведенное нами термодинамическое исследование тоже не способно дать ответа на этот вопрос. Можно лишь утверждать, основываясь на формуле (4'), что причиной появления параметра прогиба и параметра неидеальности является изменение длины связей, которое можно получить, воздействуя на полупроводниковые соединения всесторонним давлением $\sim 60\ 000$ — $70\ 000$ атм (что можно рассчитать с помощью коэффициентов изотермической сжимаемости). Таким образом, предполагаем, что появление параметра прогиба связано с «воздействием» на полупроводниковые соединения «давления», вызванного взаимным влиянием различных компонентов, замешанных в твердый раствор.

Вывод. Предложен термодинамический метод расчета ширины запрещенной зоны многокомпонентных твердых растворов (для случая прямых переходов),

Таблица 2

Расчетные и экспериментальные величины ΔE_g
($T=300$ К)

Твердый раствор	ΔE_g , эВ [^a]	ΔE_g **	ΔE_g [расчет по формуле (5)]
In _{1-x} Ga _x P	0.76	—	0.87
In _{1-x} Ga _x Sb	0.42	0.44	0.42
InAs _y P _{1-y}	0.10	0.12	0.14
GaAs _y P _{1-y}	0.21	—	0.22
InAs _y Sb _{1-y}	0.60	0.63	0.59
GaAs _y Sb _{1-y}	1.00	0.86	1.00
InSb _y P _{1-y}	(1.60±0.30)*	1.50	1.40
In _{1-x} Ga _x As	0.45, 0.46	0.46	0.70

Примечание. * Оценка, приведенная в работе [11] из данных по четырехкомпонентной системе InAs_xSb_yP_{1-x-y}. ** Величины ΔE_g , пересчитанные по формуле (5) на основе данных по ΔH , оцененных авторами по методу, изложенному в [11].

основанный на связи между параметрами прогиба и параметрами неидеальности твердых растворов. Наблюдается удовлетворительное соответствие между расчетными зависимостями для ширины запрещенной зоны многокомпонентных твердых растворов от состава и экспериментальными данными.

Авторы благодарны А. А. Рогачеву за полезную дискуссию, а также А. Н. Титкову, В. Н. Чебану и В. В. Шерстневу за любезно предоставленные экспериментальные данные.

Список литературы

- [1] Thompson A. G., Woolley J. C. // Can. J. Phys. 1967. V. 45. N 1. P. 255—264.
- [2] Van Vechten J. A., Bergstresser T. K. // Phys. Rev. (B). 1970. V. 1. N 8. P. 3351—3356.
- [3] Hill R. // J. Phys. (C). 1974. V. 7. N 3. P. 521—526.
- [4] Shultz K. R., Neumann H., Hunger K. // Phys. St. Sol. (B). 1976. V. 75. N 2. P. 493—500.
- [5] Panish M. B., Illegems M. // Prog. Sol. St. Chem. 1972. V. 7. P. 39—84.
- [6] Стрельченко С. С., Лебедев В. В. Соединения A³B⁵. М., 1984. 144 с.
- [7] Stringfellow G. B. // J. Phys. Chem. Sol. 1972. V. 33. N 3. P. 665—677.
- [8] Phillips J. C., Van Vechten J. A. // Phys. Rev. (B). 1970. V. 2. N 7. P. 2147—2156.
- [9] Ормант Б. Ф. Введение в физическую химию и кристаллохимию полупроводников. М., 1982. 424 с.
- [10] Auvergne D., Camassel J., Mathieu H., Joullie A. // J. Phys. Chem. Sol. 1974. V. 35. N 2. P. 133—140.
- [11] Fukui T., Horikoshi Y. // Japan. J. Appl. Phys. 1981. V. 20. N 2. P. 587—593.
- [12] Antypas G. A. // J. Electrochem. Soc. 1970. V. 117. N 11. P. 1393—1397.
- [13] Безотосный В. В., Богатов А. П., Долгинов Л. М., Дракин А. Е., Елисеев П. Г., Мильвидский М. Г., Свердлов Б. Н., Шевченко Е. Г. // Тр. ФИ АН СССР. 1983. Т. 141. С. 18—46.
- [14] Гусейнов А., Джуртанов Б. Е., Литвак А. М., Мирсагатов М., Чарыков Н. А., Шерстнев В. В., Яковлев Ю. П. // Письма ЖТФ. 1989. Т. 15. Б. 12. С. 67—73.
- [15] Cherng M. J., Stringfellow G. B., Kisker D. W., Srivastava A. K., Ziskind J. L. // Appl. Phys. Lett. 1986. V. 48. N 6. P. 419—421.
- [16] Astles M., Hill H., Williams A. J., Wright P. J., Young M. L. // J. Electron. Mater. 1986. V. 15. N 1. P. 41—49.